

# Sachverzeichnis

Kursiv dargestellte Seitenverweise beziehen sich auf Abbildungen.

## A

- Abstützreaktion 358, 358
- Abszess
  - Diszitis 392
  - epiduraler spinaler 397 f
  - - CT-Morphologie 398
  - - Pathogenese 397
  - - postinterventionell 398
  - - Spondylodiszitis 398
  - Gehirn 104 ff
  - - CT-Morphologie 106
  - - DD Hirnmetastase 197
  - - Differenzialdiagnose 106
  - - Entstehung 104
  - - Nokardien 119, 119
  - - Pathogenese 104
  - - posttraumatischer 55
  - - Schädel-Hirn-Trauma 105
  - - tuberkulöser 108, 108
- ADEM (akute disseminierte Enzephalomyelitis) 223
- Adenoma sebaceum 234
- Adrenoleukodystrophie, Übersicht 211
- AIDS
  - Kryptokokkose 116
  - Neurosyphilis 122
  - progressive multifokale Leukozecephalopathie 124
  - Toxoplasmose 114, 115
- Akustikusneurinom 159 ff, 281 ff
  - bilaterales 160
  - Charakteristika 161
  - CT-Morphologie 161
  - DD Blutung 162
  - DD hoher Bulbus 160
  - DD Metastasen 162
  - Differenzialdiagnosen 161, 162
  - Meatus acusticus internus 160
  - Neurofibromatose Typ 2 232
  - Pathogenese 160
  - Standardeinstellung 30
  - Temporallappeneinstellung 30
- Alzheimer-Erkrankung s. Morbus Alzheimer
- Ameloblastom 259
  - Charakteristika 259
  - CT-Morphologie 259
- Amyloidablagerung
  - Creutzfeldt-Jakob-Erkrankung 214
  - Morbus Alzheimer 211
- Amyloidangiopathie
  - Creutzfeldt-Jakob-Erkrankung 214
  - DD Massenblutung 82
  - Blutung 81

## Anatomie

- Atlas 317
- Axis 317
- Bandscheiben 318
- Cauda equina 322
- Facettengelenke 315
- Kopf 3
- Rückenmark 321
- Rückenmarkhäute 323
- Spinalkanal 314
- Wirbelsäule 295, 313
- Wirbelsäulengefäß 318
- Aneurysma
  - A. basilaris 93
  - A. carotis interna 29, 76
  - A. pericallosa 90
  - CT-Angiographie 28
  - Nachweis bei SAB 91
  - R. communicans anterior 92
  - R. communicans posterior 29
  - Subarachnoidalblutung 77, 88
  - thrombosiertes 92
  - verkalktes 92
- Angioblastom 174 f
  - CT-Morphologie 175
  - Charakteristika 174
  - DD Metastase 196
  - Differenzialdiagnosen 175
  - Halswirbelsäule 441
  - intraspinales 440
  - Pathogenese 174
  - Rezidivdiagnostik 175
- Angiographie
  - A. cerebri media 77
  - Angiom 85
  - AV-Malformation 87
  - Glomustum 277
  - Hämangioblastom 174, 441
  - Hämangiom 420
  - Vaskulitis 79
- Angiom
  - arteriovenöses 85 f
  - Blutung 82, 86 f
  - Häufigkeit 134
  - Sturge-Weber-Erkrankung 233
- Angiomatose, enzephalotrigemiale s. Morbus Sturge-Weber
- Aphasie
  - Herpes-Enzephalitis 111
  - Hirntumoren 134
- Arachnoidalzyste 236 f
  - Charakteristika 237
  - CT-Morphologie 237
  - Differenzialdiagnose 237
  - Pathogenese 236
  - spinale 334
  - temporale 237

## Arachnoiditis, spinale

- 398 ff, 399, 400
- CT-Morphologie 400
- Differenzialdiagnose 400
- Pathogenese 399
- Arachnopathie 398, 399 f, 400
- Artefakte 13
  - Aufhängungsartefakt 12
  - Entwicklungsfehler 14
  - Kreisartefakt 13
  - Lagerungsfehler 13
  - Reduktion 29
  - Ringartefakt 13
  - Wirbelsäule 310
- Arteria
  - basilaris
    - Aneurysma 84, 92 f
    - - Aneurysmablutung 89
    - - Angiom 86
    - - Infarkt 62
    - - Thrombose 75
    - - Verschluss 64
    - carotis
      - CT-Angiographie 32
      - - Hirninfarkt 64
      - - Aneurysma 29, 76, 92
      - - Aneurysmablutung 89
      - - Gefäßstenose 28
      - - Hirninfarkt 62
      - - Verletzung 52
      - cerebelli anterior inferior, Hirninfarkt 64
      - cerebelli posterior inferior, Hirninfarkt 64, 74
      - cerebri anterior
        - Grenzoneninfarkt 68, 69
        - - Hirninfarkt 63 f, 66
        - - lakunärer Infarkt 62
        - cerebri media
          - Aneurysmablutung 89
          - - Gefäßspasmen 77
          - - Grenzoneninfarkt 22, 68, 69
          - - Hirnembolie 104
          - - Hirninfarkt 63 f, 66
          - - Hyperdense Media Sign 21, 68
          - - Infarkt 62, 72, 81
          - - Infarktfürzeichen 65
          - - lakunärer Infarkt 62
          - - Territorialinfarkt 22, 66
          - - Verschluss 28
          - cerebri posterior
            - - Grenzoneninfarkt 22, 68
            - - Hirninfarkt 23, 63 f, 66
            - - lakunärer Infarkt 62
            - - Territorialinfarkt 22
            - - Verletzung 52
    - choroidea anterior, Hirninfarkt 64
    - communicans anterior, Aneurysmablutung 89
    - ethmoidalis, Sinuschirurgie 248
    - intercostalis, Blutversorgung Rückenmark 319
    - meningea media
      - Epiduralhämato 40
      - - Verletzung 52 f
    - meningea posterior, Verletzung 52
    - ophthalmica, Ästhesioneuroblastom 153
    - pericallosa
      - Aneurysma 90
      - - Aneurysmablutung 89
      - radiculomedullaris, Blutversorgung Rückenmark 319
      - sacralis mediana, Blutversorgung Rückenmark 319
      - spinalis anterior
        - Anatomie 318
        - - Bandscheibenprolaps 363
      - vertebralis
        - Blutversorgung Rückenmark 319
        - - lakunärer Infarkt 62
        - - Nervenwurzelkompression 316
        - - Normvarianten 316
        - - Verlauf HWS 315
        - - Verschluss 64
    - Arteria-carotis-Sinus-cavernosus-Fistel 53
    - Arthritis, rheumatoide s. Rheumatoide Arthritis
    - Arthrose, Kiefergelenk 253
    - Aspergillose 110 f
      - CT-Morphologie 111
      - Differenzialdiagnosen 111
      - Knochenmarktransplantation 110, 110
      - Pathogenese 110
    - Ästhesioneuroblastom 153 f, 154
    - Astrozytom
      - anaplastisches 135 f, 138
      - DD Angioblastom 175
      - DD Medulloblastom 158
      - Einteilung 135 f
      - gemistozytisches 142
      - intraspinales 438
      - Kontrastmittelanreicherung 141
      - pilozytisches 439
        - - CT-Morphologie 139, 439
        - - Einteilung 135
        - - Häufigkeit 439
        - - Lokalisation 139
        - - Pathogenese 439

- Atlantoaxialgelenk
  - Normalbefund 317
  - rheumatoide Arthritis 400 f, 401
- Atlas
  - Anatomie 317, 317
  - Fraktur 343
  - Häufigkeit 343
  - Jefferson-Fraktur 343, 344
  - Klinik 343
- Atrophie
  - Hydrozephalus 224
  - Kleinhirn 217
  - Morbus Alzheimer 212
  - Morbus Pick 213
  - Multiinfarktdemenz 220
  - Nucleus caudatus 213, 218
  - olivopontozerebelläre 215, 217, 218
  - posttraumatische 55, 56
- Aufhärtungsartefakte 12, 310
- Aufnahmegeräät, Kontrolle 12
- AV-Malformation 84 ff
  - CT-Morphologie 86
  - Differenzialdiagnose 86
  - Pathogenese 84
  - Rezidivdiagnostik 87
- Axis
  - Anatomie 317, 317
  - Bogenfraktur 346, 346
  - Fraktur 343 f
  - traumatische Spondylolisthesis 346

**B**

- Bacillus-anthracis-Meningoencephalitis 112
- Bagatelltrauma, Subduralhämatom 45
- Balkendysplasie 238
  - CT-Morphologie 238
  - Klinik 238
  - Pathogenese 238
- Balkengiom 139, 140
- Balkenlipom 10, 238
- Bandscheiben
  - Anatomie 318
  - Degeneration 356 ff
    - - Abstützreaktion 358
    - - CT-Morphologie 363
    - - Gefügelockerung 356
    - - Pathogenese 356
    - - postoperativer Befund 364, 366
    - - Prolaps 357
    - - Protrusion 357, 357
    - - Schmerzentstehung 358
    - - Schmorl-Knoten 362
    - - Sequester 357, 364
    - - Vakuumphänomen 356, 357
  - Diagnostik, Fenstereinstellung 309
  - Funktion 318

- Prolaps
  - - Aufhärtungsartefakte 310
  - - DD intraspinales Meningeom 428
  - - DD Schwannom 432
  - - Differenzialdiagnosen 303
  - - Fenstereinstellung 310
  - - Klinik 302
  - - lateraler lumbaler 357
  - - lateraler 356
  - - lumbaler 359 f, 360 f
  - - Propädeutik 302
  - - Retrolisthesis 368
  - - Schmorl-Knoten 362
  - - sequestrierter 357, 357 f, 365
  - - Spinalkanaleinengung 359
  - - thorakaler 363, 363
  - - traumatischer 353
  - - zervikaler 362, 362, 364
- Protrusion
  - - breitbasige 364
  - - periradikuläre Therapie 456
  - - Versorgung 318
- Bannwarth-Syndrom 121
- Basalganglien, Hirninfarkt 73
- Basilariskopfaneurysma 93
- Basilarisspitzenzyndrom 75
- Basilaristhrombose 75
- Battered-Child-Syndrom 53
- Bauchlage, Kopf-CT 26
- Befundung 12 ff
  - Artefakte 13
  - Aufnahmegeräät 12
  - Gyri 18
  - Hirninfarkt 21
  - Kopfschwarze 13
  - Liquorräume 15
  - Liquorzirkulationsstörung 16
  - Marklagerveränderungen 18
  - Notfalldiagnostik 12
  - Schädelknochen 13
  - Schema 12
  - Sinusvenenthrombose 18, 18
  - Subarachnoidalblutung 16
  - Sulci 15
  - Ventrikelsystem 23
  - Wirbelsäule 304, 309
- Berstungsfraktur
  - Lendenwirbelsäule 351
  - Wirbelkörperfraktur 349, 351
- Bestrahlung
  - Leukenzephalopathie 125
  - Lymphom 176
  - Meningeom 426
- Bewegungsartefakte 12
- BID (bilaterale interfazettäre Dislokation) 347
- Biopsie 459 f
  - Durchführung 459
  - Indikation 459
  - Karzinom 192
  - Komplikationen 460
  - Lendenwirbelsäule 459
  - Lymphom 176
- Toxoplasmose 114
- Vertebroplastie 450
- Blockwirbel, Klippel-Feil-Syndrom 327
- Blow-Out-Fraktur 284, 285
- Blut, Dichte 24
- Blut-Hirn-Schanke
  - Befundung 12
  - Kontrastmittel 30
- Blutung
  - atypische 19, 82 f
  - AV-Malformation 86
  - DD Akustikusneurinom 162
  - epidurale 40 ff, 42, 387, 388
  - Hirninfarkt 77
  - Kleinhirn 81
  - Liquorräume 84
  - Massenblutung 20
  - perimesenzephale 90
  - spinale 386 f
- Bogenwurzel
  - Chance-Fraktur 351
  - Spinalkanalstenose 336, 336 f
  - Spondylolyse 368
- Bolus-Tracking-Methode 27
- Borreliose 120 f
  - CT-Morphologie 121
  - Differenzialdiagnose 121
  - Pathogenese 121
- Bronchialkarzinom
  - Hirnmetastasen 195, 195
  - intraspinal Metastasen 410
- Brucellose 123
- Brückenvenen, Subduralhämatom 45
- Brustwirbelsäule
  - Bandscheibenhöhe 318
  - Bandscheibenprolaps 363
  - Besonderheiten 316
  - Facettengelenke 315
  - Hämangioma 420
  - Knochenfenster 300
  - Plasmozytom 423
  - Spinalkanal 315
  - Wirbelkörperkompressionsfraktur 349 f
- Bulbus v. jugularis, Glomus-tumor 277
- Bursitis pharyngealis 256

**C**

- Canalis
  - ethmoidalis anterior, Sinus-chirurgie 249
  - hypoglossus, Glomustumoren 276
  - opticus, Sinuschirurgie 249
  - caroticus, Fraktur 51
- Capsula
  - interna
    - - Hirninfarkt 67
    - - hypertone Massenblutung 80
    - - Marklagerödem 20
- externa
- - Marklagerödem 20
- - progressive multifokale Leukoenzephalopathie 124
- Cauda equina
  - Anatomie 322
  - Bandscheibenprolaps 361
  - Ependymom 437
  - Neurofibrom 433
  - Paragangliom 433
  - Post-Myelo-CT 322
- Cavum
  - septi pellucidi 238
  - veli interpositi 238
  - Vergae 238
- Chance-Fraktur 307, 351
- CHARGE, Choanalatresie 255
- Cherubismus 265
- Chiari-Malformation 239 f, 239
- Choanalatresie 255, 255
- Cholesteatom 275
- Cholesteringranulom 274, 274
- Chondrom 191
- Chondrosarkom 191, 192, 425, 425 f
  - CT-Morphologie 191, 425
  - Klinik 191, 425
  - parasellares 191
  - Pathogenese 191, 425
  - primäres 425
  - sekundäres 425
- Chord Sign 18
- Chordom 189 f
  - CT-Morphologie 190
  - DD Plasmozytom 190
  - Differenzialdiagnosen 190
  - intraspinales 414 f
  - Klivus 190
  - Pathogenese 189
  - Rezidivdiagnostik 190
  - sakrales 415
- Chorioretinitis, Toxoplasmose 114
- Circulus arteriosus
  - Aneurysmanachweis 91, 92
  - Subarachnoidalblutung 90
- Claudicatio spinalis 336
- Cockayne-Syndrom 211
- Cord Sign 96
- Corpus-pineale-Tumor
  - Germinom 180
  - Keimzelltumor 180
  - Teratom 181
- Corpus-pineale-Zyste 154 f
- Coup-/Contre-Coup-Theorie 37, 38
- Kontusionsherd 39
- Creutzfeldt-Jakob-Erkrankung 214
- CT-Morphologie 214
- Differenzialdiagnosen 214
- Pathogenese 214
- Übersicht 210
- Cryptococcus neoformans 116
- CT-Angiographie
  - A. carotis 32
  - Aneurysmen 28
  - Bildnachverarbeitung 28

- Dissektion 28  
 - Gefäßstenose 28  
 - Gefäßverschluss 28  
 - Kontrastmittelgabe 27  
 - Sinusvenenthrombose 29, 29  
 - Untersuchungsparameter 27  
*Cysticercus ratiamosis* 117
- D**
- Dandy-Walker-Malformation 235 f, 236  
 Degeneration  
 - Bandscheiben 356 ff  
 - hepatolentikuläre 218  
 - striatonigrale 217  
 - Wirbelsäule 355 ff  
 Deltazeichen 96  
 Demenz  
 - Creutzfeldt-Jakob-Erkrankung 214  
 - CT-Diagnostik 210  
 - kortikale, Übersicht 210  
 - Morbus Alzheimer 211 f  
 - Morbus Huntington 218  
 - Morbus Parkinson 214 f  
 - Morbus Pick 213  
 - Morbus Wilson 218  
 - Multiinfarktdemenz 220 f  
 - Normaldruckhydrozephalus 219 f  
 - subkortikale, Übersicht 210  
 - Übersicht 210  
 - vaskuläre, Übersicht 210  
 Demyelinisierung  
 - Multiple Sklerose 222  
 - zentrale pontine Myelinolyse 224  
 Denis-Modell 349, 349  
 Dens axis  
 - Anatomie 317  
 - Basisfraktur 345  
 - Fraktur 343 f, 345  
 - rheumatoide Arthritis 400  
 - Weichteilfenster 299  
 Dense Triangle Sign 18  
 Densitometrie 376  
 Dental-CT 253  
 - Unterkieferosteom 252  
 Dermoid 183, 269  
 - CT-Morphologie 183  
 - Dichte 269  
 - Differenzialdiagnosen 183  
 - Häufigkeit 134, 183  
 - intraspinales 435  
 - Pathogenese 183, 435  
 Diastematomyelie 331, 331 f  
 - CT-Morphologie 331  
 - Pathogenese 331  
 Dichte  
 - Dermoid 183, 269  
 - Epidermoid 269  
 Dichteminderung
- Morbus Paget 267  
 - Normaldruckhydrozephalus 220  
 - Ponsgliom 231  
 Dichtenumkehr, Subarachnoidalblutung 17  
 Dichteunterschiede  
 - Aufnahmeequalität 12  
 - Hirngewebe 10, 10  
 Dichteveränderung  
 - Glomustumor 277  
 - Notfalldiagnostik 12  
 - Sinus 95  
 Diplomyelie 331  
 Discitis calcarea 392, 393  
 Dissektion 75  
 - A. carotis interna 52  
 - A. vertebralis 52  
 - Hirninfarkt 75, 76  
 Diszitis 392  
 - Charakteristika 392  
 - CT-Morphologie 392  
 - Pathogenese 392  
 - postinterventionelle 392  
 Double Dose Delay 31  
 - Toxoplasmose 115  
 Drei-Säulen-Modell 349, 349  
 Druckkappen 23, 24  
 - Hydrozephalus 225  
 - Meningoem 166  
 DSA  
 - Hämangioblastom 441  
 - spinale 385  
 Ductus craniopharyngeus 181  
 - Kranipharyngeom 188  
 Dura mater  
 - Divertikel 334  
 - Epiduralhämatom 41 f  
 - Fistel 83  
 - SHT 36  
 - Verletzung 51  
 - Wirbelsäule 323  
 Dural Tail 191  
 Duralsack 323  
 - Bandscheibenprolaps 357 f, 361  
 - Diplomyelie 331  
 - Kompression 360  
 - leerer 400  
 - spinale meningeale Zyste 334  
 - Spondylolisthesis 370  
 - thorakaler Bandscheibenprolaps 363  
 - Tumor 409  
 Dysplasie  
 - Balken 238, 238  
 - fibröse 264 f, 422  
 - - Charakteristika 265  
 - - CT-Morphologie 266, 422  
 - - DD ossifizierendes Fibrom 273  
 - - Differenzialdiagnosen 266  
 - - Häufigkeit 265, 422  
 - - Osteolyse 266  
 - - Pathogenese 265, 422  
 - - periapikale zementale 260  
 Dysrhaphie, spinale 328 ff
- E**
- Effendi-Klassifikation 346, 347  
 Einblutung  
 - Epiduralhämatom 40  
 - Hirnmetastase 195  
 - Kontusionsherd 39, 40  
 Einklemmung  
 - Epiduralhämatom 42  
 - Gyrus cinguli 11  
 - Kleinhirn 11  
 - medialer Temporallappen 11  
 - obere 11  
 - untere 11  
 Einteilung  
 - intraspinal Raumforderung 408  
 - Mittelgesichtsfraktur 283  
 - spinale arteriovenöse Malformation 382  
 - Spondylolisthesis 368  
 Eklampsie, DD Hirninfarkt 79  
 Elfenbeinwirbel 412, 412  
 Empty Triangle Sign 18, 18, 96, 96  
 Encephalomyelitis disseminata s.  
 - Multiple Sklerose  
 Endokarditis, Hirnabszess 106  
 Endstrominfarkt 68, 68  
 - DD MS 78, 223  
 - Pathogenese 62  
 Enhancement s. Kontrastmittelanreicherung  
 Entwicklungsfehler 14  
 Enzephalitis  
 - Borreliose 121  
 - Herpes-simplex-Virus 111 f  
 - Toxoplasmose 114  
 Enzephalomyelitis, akute disseminierte 223  
 Enzephalopathie  
 - hypoxische 210  
 - subkortikale  
 - arteriosklerotische 62 f, 65, 69  
 - tuberkulöse 107  
 Ependymitis 105  
 - Tuberkulose 107  
 Ependymoblastom 157  
 Ependymom 145 ff  
 - CT-Morphologie 146  
 - DD Medulloblastom 147  
 - Differenzialdiagnosen 147  
 - Häufigkeit 146, 155  
 - intraspinales 437  
 - - CT-Morphologie 437  
 - - Pathogenese 437  
 - IV. Ventrikel 146  
 - Pathogenese 145  
 - Rezidivdiagnostik 147  
 Epidermoid 182 f, 269  
 - CT-Morphologie 182  
 - Dichte 269  
 - DD Meningoem 182  
 - Differenzialdiagnosen 183  
 - Häufigkeit 134, 182  
 - intraspinales 435
- parasellares 182  
 - Pathogenese 182, 435  
 Epiduralhämatom 40 ff  
 - Beispiele 41  
 - CT-Morphologie 41  
 - DD subdurale Hämatom 42  
 - Differenzialdiagnosen 43  
 - infratentorielles 43  
 - Kindesmisshandlung 53  
 - kleines 42  
 - Pathogenese 40  
 - spinales  
 - - CT-Morphologie 387  
 - - Pathogenese 387  
 - spinales 388  
 - subakutes 43  
 - vertexnahes 42  
 Epiduralraum  
 - epidurale Injektion 458  
 - Rückenmark 323  
 Epilepsie  
 - Hirntumoren 134  
 - Neurozystikerose 117  
 - posttraumatische 55  
 - Schädel-Hirn-Trauma 55  
 Epipharynxkarzinom 280  
 Ethmoidalzellen  
 - koronares CT 254  
 - LeFort-Frakturen 284  
 - Papillom 264  
 - Plasmozytom 179
- F**
- Facettengelenke  
 - Anatomie 314 f  
 - Bandscheibendegeneration 356, 357  
 - Ganglion 366  
 - Infiltration 453 ff, 454  
 - interfacetäre Dislokation 347  
 - Klippel-Feil-Syndrom 327  
 - Pseudospondylolisthesis 368  
 - Retrolisthesis 369  
 - Spinalkanalstenose 371 f  
 - Spondylolisthesis 370  
 Fehlbildung  
 - Choanalatresie 255  
 - Diastematomyelie 331, 331 f  
 - Gesichtsschädel 253  
 - Hydromyelie 337  
 - Klippel-Feil-Syndrom 326 f, 327  
 - Lipomyeloschisis 333  
 - Myelomeningozele 329  
 - Schädelbasis 253  
 - Spina bifida 328 f  
 - Syringomyelie 337  
 - Tethered-Cord-Syndrom 330  
 - Tornwaldt-Zyste 256  
 - Wirbelsäule 326  
 Felsenbein  
 - Cholesteatom 275  
 - Cholesteringranulom 274

- Felsenbein**, CT-Stellenwert 252  
 - Epipharynxkarzinom 280  
 - fibröse Dysplasie 265  
 - Fraktur 286, 286  
 - Klinik 36  
 - Liquorrhö 36  
 - Glomustumor 277, 277  
 - Meningeom 167  
 - Schichtdicke 26  
 - Tumor 257 ff
- Fenstereinstellung**  
 - Aufnahmeequalität 12  
 - Bandscheibenfach 310  
 - Kopf-CT 26, 32  
 - Post-Myelo-CT 309  
 - Wirbelsäule 309
- Fett**, Absorptionswert 10
- Fibrom**, ossifizierendes 272 f, 273  
 - CT-Morphologie 273  
 - DD fibröse Dysplasie 273  
 - Pathogenese 272
- Filum terminale**  
 - Diastematomyelie 331  
 - Ependymom 437  
 - Lipomyeloschisis 333  
 - Paragangliom 433  
 - Tethered-Cord-Syndrom 330, 330
- Fischwirbel** 375
- Fistel**  
 - AV-Malformation 382  
 - Dura mater 83  
 - durale arteriovenöse 383 f
- Flexionsfraktur**, Wirbelkörper 349, 352
- Fogging-Effekt** 22
- Foramen**  
 - jugulare, Glomustumor 276 f  
 - magnum  
 - - Chiari-Malformation 239, 239  
 - Morbus Paget 267  
 - Monroi  
 - Hydrozephalus 225  
 - Kolloidzyste 184  
 - Kraniopharyngeom 188  
 - Tuberöse Sklerose 234
- Fraktur**  
 - Atlas 343  
 - Axis 343 f  
 - Canalis caroticus 51  
 - DD Sutur 13, 14  
 - Dens axis 344  
 - frontobasale 36, 285  
 - Halswirbelsäule 304, 343 f, 347  
 - Sakrum 352  
 - Schädel 36 f  
 - Wirbelsäule 303, 342 ff  
 - - Bildauswertung 342  
 - - Chance-Fraktur 307  
 - - CT-Diagnostik 342  
 - - Wirbelkörpervorderkante 307  
 - zervikale 343 f, 347  
 - zygomatikomaxillare 283
- Frontallappen**  
 - Anfall 134  
 - Arachnoidalzyste 237  
 - Morbus Alzheimer 211 f  
 - Morbus Pick 213, 213
- Frontobasisfraktur**, Klinik 36
- G**
- Galeahämatom**, Kindesmisshandlung 54
- Ganglioblastom** 151
- Gangliogliom** 151 f, 152
- Ganglion**, Facettengelenke 366
- Gangliozytom** 150 ff  
 - CT-Morphologie 151 f  
 - Differenzialdiagnose 152  
 - Pathogenese 150 f  
 - Verkalkung 151, 151
- Gantry-Kippung**  
 - Kopf-CT 26
- Gefäßspasmus**, Hirninfarkt 77
- Gefäßverletzung**, traumatische 52 f
- Gefügelockerung** 356
- Germinom** 179 f
- Gesichtschirurgie**  
 - Implantatherstellung 253  
 - Operationsplanung 253
- Gesichtsfelddefekt**, Hypophysadenom 185
- Gesichtsschädel** 251 ff  
 - Choanalatresie 255  
 - CT-Indikationen 252  
 - CT-Stellenwert 252  
 - Fehlbildungen 253  
 - fibröse Dysplasie 266  
 - Fraktur 283 f, 286 f  
 - ossifizierendes Fibrom 272  
 - Osteochondrom 271  
 - Riesenzelltumor 271  
 - Tumor 257 f, 260 f
- Glioblastom**  
 - DD Hirnmetastase 196, 198  
 - Einteilung 135  
 - Gradeinteilung 136  
 - Kontrastmittelanreicherung 139, 142  
 - postoperativer Verlauf 247
- Glioblastoma multiforme** 138
- Gliom** 135 ff  
 - Bestrahlungsfolgen 142  
 - Corticoidtherapie 143  
 - CT-Morphologie 139  
 - DD Hirninfarkt 140  
 - DD MS 140  
 - Einteilung 135  
 - epileptischer Anfall 134  
 - Gradeinteilung 136  
 - Grad I 136
- Grad III 138  
 - Grad IV 138, 141  
 - Häufigkeit 134, 138  
 - Klinik 139  
 - Pathogenese 135  
 - pilozytisches 136  
 - Pons 136  
 - postoperative Veränderung 142  
 - Rezidivdiagnostik 142
- Gliomatose**, diffuse 139
- Gliomatosis cerebri** 139, 149 f  
 - CT-Morphologie 150  
 - Differenzialdiagnosen 150  
 - Pathogenese 149
- Gliose**, posttraumatische 55
- Globus pallidus**, Verkalkung 216
- Glomus-jugulare-Tumor** 276 f
- Glomus-tympanicum-Tumor** 277
- Glomus-vagale-Tumor** 276
- Glomustumor** 276 f, 277
- Granulom**, eosinophiles 415 f
- Grenzzoneinfarkt** 68  
 - Einteilung 68  
 - hinterer 22, 69  
 - Kleinhirn 74  
 - MRT 69  
 - Pathogenese 62  
 - subkortikaler 68  
 - Verteilungsmuster 21  
 - vorderer 22, 68
- Großhirninfarkt**, CT-Morphologie 65
- Gummien** 122
- Gyri**  
 - Befundung 18  
 - Herpes-Enzephalitis 19  
 - kortikale Hämmorrhagie 19
- H**
- Halswirbelsäule**  
 - Abstützreaktion 358  
 - Angioblastom 441  
 - Atlasfraktur 343  
 - Aufhängartefakte 310  
 - Axisfraktur 343 f  
 - Bandapparat 321  
 - Bandscheibenhöhe 318  
 - Bandscheibenprolaps 362  
 - Besonderheiten 315  
 - Dornfortsätze 316  
 - Facettengelenke 315  
 - Fraktur 304, 343 f, 347  
 - interfacetäre Dislokation 347  
 - Klippel-Feil-Syndrom 326  
 - Knochenfenster 299  
 - Neurofibrom 431, 433  
 - Post-Myelo-CT 299  
 - rheumatoide Arthritis 400 f  
 - sagittale Rekonstruktion 304  
 - Schwannom 432 f  
 - Spinalkanal 314  
 - Teardrop-Fraktur 304, 343, 347
- Weichteifenster 299
- Hämangioblastom** 174 f  
 - CT-Morphologie 175  
 - DD Metastase 196
- Differenzialdiagnosen** 175
- Halswirbelsäule 441
- Hippel-Lindau-Erkrankung 233
- intraspinales 440
- Pathogenese 174
- Hämangioma**
- Brustwirbelsäule 420
- Wirbelkörper 419 f, 420
- Hämangioperizytom** 164, 172, 442, 442
- CT-Morphologie 442
- Pathogenese 442
- Hamartom**, Tuberöse Sklerose 234
- Hämatom**  
 - epidurales 40 ff  
 - Abgrenzung subdurales Hämatom 15  
 - Befundung 14  
 - Beispiele 41  
 - Charakteristika 15  
 - CT-Morphologie 41  
 - DD subdurales Hämatom 42 f  
 - Differenzialdiagnosen 43  
 - infratentorielles 43  
 - Kindesmisshandlung 53  
 - Pathogenese 40  
 - spinales 387  
 - subakutes 43  
 - vertexnahes 42  
 - subdurales 44 ff  
 - Abgrenzung epidurales Hämatom 15  
 - akutes 45 f  
 - ausgedehntes 47  
 - Befundung 14  
 - beidseitiges 46  
 - Charakteristika 15, 46  
 - chronisches 16, 45 f  
 - DD Arachnoidalzyste 48  
 - DD Epiduralhämatom 47  
 - Hasenohrzeichen 14  
 - Interhemisphärenspalt 56  
 - Kindesmisshandlung 53, 54  
 - Pathogenese 45  
 - Sonderformen 48  
 - spinales 387
- Hämorrhagie**, kortikale 19
- Hangman-Fraktur** 346
- Hasenohrzeichen** 14, 46
- Herniation**  
 - Gyrus cinguli 11  
 - Kleinhirn 11  
 - medialer Temporallappen 11  
 - Syringomyelie 338  
 - Ursachen 11
- Herpes-Enzephalitis** 19, 111 f
- Hippel-Lindau-Erkrankung** 232 f
- Hippokampus**  
 - Herniation 11  
 - Morbus Alzheimer 211 f



- Hirnabszess
- bakterieller 104 ff
  - - Begleitveränderung 104
  - - CT-Morphologie 106
  - - Differenzialdiagnose 106
  - - Endokarditis 104
  - - Pathogenese 104
  - DD Hirnmetastase 197
  - Entstehung 104
  - Ependymitis 105
  - Nokardien 119, 119
  - otogener 104
  - posttraumatischer 55
  - Schädel-Hirn-Trauma 105
  - tuberkulöser 108, 108
- Hirnatrophie
- extern betonte 212
  - frontal betonte 213
  - Liquorvermehrung 224
  - Morbus Alzheimer 211 f
  - Morbus Pick 213
  - Multiinfarktdemenz 220
  - olivopontozerebelläre 217, 218
- Hirnblutung
- atypische 82, 83
  - - Angiom 82
  - - Hirninfarkt 82
  - - Kavernom 82
  - hypertone Massenblutung 80, 82
- Hirndiagnostik, Entwicklung 10
- Hirnembolie, septische 104
- Hirnerkrankung
- angeborene 229 ff
  - - Arachnoidalzysten 236
  - - Balkendysplasien 238
  - - Chiari-Malformation 239
  - - Dandy-Walker-Malformation 235 f
  - - Hippel-Lindau-Erkrankung 232 f
  - - Neurofibromatose Typ 1 230 f
  - - Neurofibromatose Typ 2 232
  - - Phakomatose 230
  - - Sturge-Weber-Erkrankung 233 f
  - - Tuberöse Sklerose 234 f
  - degenerative 210 ff
  - demyelinisierende 221 ff
  - - Morbus Schilder 223
  - - Multiple Sklerose 222 f
  - - zentrale pontine Myelinolyse 224
- Hirngewebe, Dichteunterschiede 10, 10
- Hirninfarkt 62 ff
- akutes Stadium 68
  - atypische Blutung 82
  - - Basilär thrombose 75
  - - Befundung 21
  - - begleitende Befunde 70
  - chronisches Stadium 70
  - CT-Morphologie 65 ff
  - CT-Verlauf 71
  - DD Gliom 140
- DD Leukenzephalopathie 79
  - DD Metastasen 78
  - DD MS 78
  - DD pontine Myelinolyse 79
  - DD Vaskulitis 78
  - Differenzialdiagnosen 78
  - Dissektion 76
  - Frühzeichen 20, 21, 65, 65, 68, 73
  - Gefäßspasmus 77
  - häodynamischer 22, 62, 64, 68
  - Hirnstamm 75
  - infratentorieller 23 f, 63
  - Kleinhirn 74
  - Klinik 64
  - Kontrastmittelanreicherung 23
  - lakunärer 22, 62, 64
  - Luxusperfusion 70
  - Multiinfarktdemenz 220
  - Pathogenese 62
  - Penumbra 74
  - Perfusions-CT 70, 73
  - Rezidivdiagnostik 79
  - subakutes Stadium 69
  - supratentorieller 63
  - Territorialinfarkt 62
  - thrombembolischer 22
  - Tuberkulose 108
  - Untersuchungsparameter 72
  - Vaskulitis 76
- Hirnkontusion 38
- Befundspektrum 39
  - CT-Morphologie 40
  - Differenzialdiagnosen 40
  - Pathogenese 38
  - Rezidivdiagnostik 40
  - Verlauf 50
- Hirnmetastase 193 ff
- Charakteristika 194 f
  - CT-Morphologie 194
  - DD Glioblastom 196, 198
  - DD Hämagloblastom 196
  - DD Hirnabszess 197
  - DD Kavernom 198
  - Differenzialdiagnosen 196
  - Marklagerödem 194
  - Multiplicität 194
  - Pathogenese 193
  - Rezidivdiagnostik 198
- Hirnnervenausfall
- Glomustumor 276
  - Medulloblastom 158
  - Sarkoidose 109
  - Schwannom 281
- Hirnnerventumor 159 ff
- Hirnödem
- Hirnabszess 106
  - Kindesmisshandlung 53
  - Kontusionsherd 38
  - Metastase 194
  - Subdurahämatom 45
  - Sulci 16
- Hirnschaden, hypoxischer 125
- Hirnstamm
- Abszess 108
- Artefaktreduktion 29
  - Enzephalitis 120
  - Gantry-Kippung 30
  - Herniation 11
  - Infarkt
  - - Differenzialdiagnose 75
  - - infratentorieller 24
  - - Untersuchungstechnik 75
  - Listeriose 120
  - Hirntumor 133 ff, 136 ff
  - Ästhesioneuroblastom 153
  - Bestrahlungsfolgen 142
  - Chondrom 191
  - Chondrosarkom 191
  - Chordom 189
  - Corpus-pineale-Zyste 154
  - Corticoidtherapie 143
  - DD Territorialinfarkt 78
  - embryonaler 155
  - ependymaler 145 ff
  - Ependymoblastom 157
  - Ependymom 145
  - Gangliogliom 151
  - Gangliozytom 150
  - Gliomatosis cerebri 149
  - Gliome 135
  - hirninfarktähnlicher 141
  - Hypophysenadenom 185
  - intrakranialer 135
  - Keimzelltumor 179
  - Kraniopharyngeom 188
  - Lymphom 175
  - Medulloblastom 157
  - Medulloepitheliom 155
  - Meningeom 164 ff, 169
  - Neurinom 159 ff
  - Neuroblastom 156 f
  - neuroepithelialer 135
  - Pineoblastom 154
  - Pineozytom 154
  - pleomorphes Xanthoastrozytom 143
  - Plexus choroideus 148
  - Plexuskarzinom 148 f
  - Plexuspapillom 148 f
  - postoperative Veränderung 142
  - primitiver neuroektodermaler
  - - Medulloblastom 157
  - - Medulloepitheliom 155
  - - Riesenzellastrozytome 144
  - - Schwannom 159 ff
  - - Sellaregion 185, 187 ff
  - - Subependymom 147
  - - zentrales Neurozytom 152
  - Histiocytosis X 415
  - Histiozytom, fibröses 171
  - HIV
  - - Enzephalopathie 210
  - - progressive diffuse Leukenzephalopathie 127
  - Hörstörung
  - - Akustikusneurinom 160
  - - Cholesteatom 275
  - - Glomustumor 276
- Hounsfield 10
  - Huntington-Erkrankung 218
  - Hydrodissektion 337
  - Hydromyelie 337, 339
  - - CT-Morphologie 338
  - - Pathogenese 337
  - Hydrozephalus 224 f
  - - Akustikusneurinom 160 f
  - - angeborener 246
  - - Basilarisaneurymsa 84
  - - CT-Morphologie 225
  - - Dandy-Walker-Malformation 235
  - - Differenzialdiagnosen 225
  - - Ependymom 146, 146
  - - erworbener 246
  - - Germinom 180
  - - Klinik 225, 246
  - - Kolloidzyste 184
  - - kommunizierender 225
  - - Medulloblastom 158
  - - Meningeom 166
  - - Neurozystikerose 117 f
  - - nicht kommunizierender 225
  - - obstruktiver 225
  - - Pathogenese 224
  - - Plexustumor 148
  - - posttraumatischer 55
  - - Shunt 246
  - - Subarachnoidalblutung 84, 90, 91
  - - Toxoplasmose 114 f
  - - Tuberkulose 107 f
  - - Tuberöse Sklerose 234
  - Hygrom, subdurales 48 f, 49
  - - chronisches 49
  - - CT-Morphologie 49
  - - DD chronisches Subduralhämatom 49
  - - Differenzialdiagnosen 49
  - - Kindesmisshandlung 54
  - - Pathogenese 48
  - - Rezidivdiagnostik 49
  - Hyperdense Media Sign 21, 65, 65, 67 f
  - Hyperdensität
  - - Angiom 85
  - - Germinom 180
  - - Hirnmetastase 195
  - - Liquorraum 24
  - - Medulloblastom 158
  - - Meningeom 166
  - Hyperostose
  - - fibröse Dysplasie 265
  - - Meningeom 165, 167
  - - reaktive 267
  - Hyperostosis frontalis interna 269
  - Hypodensität
  - - Aspergillose 111
  - - chronisches Subduralhämatom 46
  - - Eklampsie 79
  - - Gliomatosis cerebri 150
  - - Hirnabszess 104
  - - Hirninfarkt 71

**Hypodensität, Kleinhirn** 75

- Kontusionsherd 38f
  - Mediainfarkt 66
  - Metastase 78
  - Multiinfarktdemenz 220, 221
  - Multiple Sklerose 223
  - Osteomyelitis 397
  - periventrikuläre 24
  - Pons 75
  - Sinusvenenthrombose 94
  - Syringomyelie 338
  - Territorialinfarkt 22
  - Toxoplasmose 114
  - Verteilungsmuster 21
  - zentrale pontine Myelinolyse 79, 224
- Hypophysenadenom** 185 ff, 186
- CT-Morphologie 185
  - Differenzialdiagnosen 187
  - Häufigkeit 134, 185
  - klinische Trias 185
  - Pathogenese 185
  - Rezidivdiagnostik 187
- Hypophysenkarzinom** 187

**I****Immunsuppression**

- Aspergillose 110
- Nokardiose 119
- Toxoplasmose 113

**Injektion**

- epidurale 457f, 458
  - periradikuläre Therapie 457
- Innenohr, Schichtdicke** 26
- Instabilität, atlantoaxiale** 401
- Densfraktur 344

**J****JC-Virus** 124**Jefferson-Fraktur** 343, 344**Jones-Thomson-Quotient** 371**K****Kalk, Absorptionswert** 10

- Kalottenfraktur** 37, 42
- Hirnabszess 105
- Karzinom** 192
- CT-Morphologie 192
  - Differenzialdiagnosen 192
  - Nasopharynx 193
  - Pathogenese 192
- Kavernom** 87f
- Blutung 82
  - CT-Morphologie 88
  - DD Hirnmetastase 198
  - Differenzialdiagnose 88
  - Pathogenese 88
  - spinale 386

**Keilbeinflügel**

- Fraktur 36
  - Meningeom 166, 166, 268
  - Morbus Recklinghausen 231
  - Nasopharynxkarzinom 280
- Keilbeinhöhle**
- Hypophysenadenom 186
  - Meningeom 167
- Keilwirbel** 375
- Keimzelltumor** 180f
- intrakranialer 179f
- Keratozyte** 261f, 261
- Kiefergelenkarthrose** 253
- Kindesmisshandlung** 53, 54
- CT-Morphologie 53
  - Differenzialdiagnosen 54
- Klassifikation**
- Axisbogenfrakturen 346, 347
  - Densfraktur 344, 345
  - Mittelgesichtsfraktur 283
  - spinale meningeale Zyste 334
  - Spondylolisthesis 368
  - Subarachnoidalblutung 89

**Kleinhirn**

- Atrophie 217
- Blutung 81
- Chiari-Malformation 239, 239
- Dandy-Walker-Malformation 236
- hypertone Massenblutung 81, 81
- Hypodensität 75
- Medulloblastom 158

**Kleinhirnbrückenwinkel**

- Akustikusneurinom 281
  - Cholesteatom 275
  - Epidermoid 182
  - Neurofibromatose Typ 2 232
  - Kleinhirninfarkt 74
  - infratentorieller Infarkt 23
  - Klinik 64
- Klippel-Feil-Syndrom** 326f, 327f
- CT-Morphologie 327
  - Pathogenese 326

**Klivuschordom** 190, 414**Knochendichthymessung** 377**Knochenfenster**

- Brustwirbelsäule 300
  - fibröse Dysplasie 266
  - folliculäre Zyste 261
  - Glomustumör 277
  - Halswirbelsäule 299
  - Hypophysenadenom 186
  - intraspinales Metastasen 410
  - Karzinom 192
  - Keilbeinflügelmeningeome 166
  - Lendenwirbelsäule 297
  - Lipomyeloschisis 333
  - Meningeom 165, 168
  - Papillom 264
  - Plasmozytom 179
  - Spondylolisthesis 370
  - Spondylolyse 369
- Knochenmarktransplantation, Aspergillose** 110, 110

**Knochenstanze** 459

- Knochenzyste, aneurysmatische** 270, 270, 418, 419
- Differenzialdiagnosen 270
  - Pathogenese 270
  - zervikale 419
- Kolloidzyste** 184
- Kompressionsfraktur, Wirbelkörper** 349, 349f
- Konfluens sinuum** 94
- Kontrastmittel**
- Blut-Hirn-Schanke 30
  - Hypophyse 31
  - Kopf-CT 30
  - Untersuchungsverlauf 30
  - Wirbelsäule 308
- Kontrastmittelanreicherung**
- Akustikusneurinom 282
  - Astrozytom 141
  - Borreliose 121
  - Epidermoid 435
  - Glioblastom 139
  - Glioblastoma multiforme 138
  - gyrale 22, 23
  - Hirnabszess 106
  - Hirninfarkt 23, 69, 70
  - Hirnmetastase 195, 196
  - Kryptokokkose 116
  - Lymphom 176
  - Meningeom 165
  - Metastase 78
  - Neurofibrom 163
  - Neurozystizerkose 118
  - Nucleus pulposus 365
  - Oligodendrogliom 137
  - Optikusgliom 139
  - pilozytisches Astrozytom 139
  - Resttumor 248
  - Schwannom 282
  - Teratom 435
  - Terminologie 25
  - Tuberkulose 108

**Kontusionsherd** 38ff

- Befundspektrum 39
  - CT-Morphologie 40
  - DD hypertensive Massenblutung 40
  - Differenzialdiagnose 40
  - Hirnödem 38
  - Hypodensität 38
  - Lage 38
  - Pathogenese 38
  - Rezidivdiagnostik 40
- Konus-Kauda-Kompression** 360
- Kopfschmerzen**
- Corpus-pineale-Tumor 155
  - Gangliozytom 151
  - Hirnabszess 105
  - Hirntumoren 134
  - Kolloidzyste 184
  - Kryptokokkose 116
  - Meningeom 164
  - Neurozystizerkose 117
  - Sinusvenenthrombose 95

**Subarachnoidalblutung** 89

- Toxoplasmose 114
  - Tuberkulose 107
- Kopfschwarte**
- Beurteilung 13
  - Galeahämatom 14
- Kraniopharyngeom** 188f
- CT-Morphologie 189
  - DD Rathke-Zyste 181
  - Differenzialdiagnosen 189
  - Häufigkeit 134, 188
  - Pathogenese 188
  - Rezidivdiagnostik 189
  - Verkalkung 188, 189
- Kryptokokkose** 116
- Charakteristika 116
  - CT-Morphologie 116
  - Differenzialdiagnose 116
  - Pathogenese 116

**L****Lagerungsfehler** 13**Lamina papyracea**

- Fraktur 284, 285
- Sinuschirurgie 248

**LeFort-Fraktur** 283, 284**Lendenwirbelsäule**

- Bandscheibenhöhe 318
- Bandscheibenprolaps 359
- Berstungsfraktur 351

**Besonderheiten** 317

- Biopsie 459
- Chance-Fraktur 351
- Einzelschichten 295
- Facettengelenke 315
- Spinalkanal 315
- Weichteilfenster 295

**Wirbelkörperkompressionsfraktur** 350**Leptomeningitis**

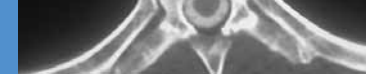
- DD Subarachnoidalblutung 91
- Tuberkulose 107

**Leukenzephalopathie**

- Bestrahlung 125
- ciclosporininduzierte, reversible 126
- DD Hirninfarkt 79
- Differenzialdiagnosen 125f
- Hirntumor 143
- progressive diffuse 126, 211
- progressive multifokale 123, 211

**Lewy-Körperchen** 214**Ligamentum**

- apicus dentis 321
- cruciforme atlantis 321
- denticulatum 323
- flavum 320
- Bandscheiben-degeneration 356
- Ossifikation 373
- Spinalkanalstenose 372
- interspinosum 320



- longitudinale anterius 320
- longitudinale posterius 320
- supraspinosum 321
- transversum
  - - Jefferson-Fraktur 343
  - - Os odontoideum 317
  - - rheumatoide Arthritis 401
- Lipom 170, 170
  - Balken 171, 238
  - CT-Morphologie 170
  - Differenzialdiagnosen 170
  - Lipomyeloschisis 333
  - Pathogenese 170
  - Lipomyeloschisis 333, 333
- Liquor
  - Absorptionswert 10
  - Dichte 10
  - Kryptokokkose 116
  - Tuberkulose 108
- Liquorräume
  - Befundung 15
  - Dandy-Walker-Malformation 236
  - Erweiterungen 24
  - Normaldruckhydrozephalus 219
- Liquorzirkulationsstörung, Befundung 16
- Listeriöse 120
- Lues 122
- Luft, Absorptionswert 10
- Luftembolie, Hirninfarkt 76, 77
- Lumbalgie, Propädeutik 302
- Lumbalwirbel, sakralisierter 314
- Lumboischialgie, Propädeutik 302
- Lumen, doppeltes 75
- Luxationsfraktur, Wirbelkörper 350
- Luxusperfusion
  - Hirninfarkt 70
  - Kontrastmittelanreicherung 23
  - Posteriorinfarkt 23
- Lyme-Borreliose 121
- Lymphom 177
  - epileptischer Anfall 134
  - intraspinal Metastasen 410
  - intraspinales 412 f, 413
    - - CT-Morphologie 412
    - - Häufigkeit 412
    - - Pathogenese 412
  - Verlauf 176
  - ZNS 175 ff, 177
    - - CT-Morphologie 177
    - - DD Meningoem 177
    - - Differenzialdiagnose 177
    - - Pathogenese 175
- M**
- Makrozephalus, Hygrom 49
- Malformation, arteriovenöse 84 ff
  - CT-Morphologie 86, 383
  - Differenzialdiagnosen 86
- Häufigkeit 86, 382
  - Klinik 86, 382
  - Pathogenese 84, 382
  - Rezidivdiagnostik 87
  - spinale 382 f, 385
- Mammakarzinom
  - intraspinale Metastase 410, 410
  - Metastase 195
  - ZNS-Metastase 196
- Marklagerhypodensität
  - Bestrahlung 125
  - Borreliose 121
  - Morbus Alexander 125
  - Morbus Schilder 223
  - Multiinfarktdemenz 221
  - Normaldruckhydrozephalus 219
  - offenes SHT 51
  - Oligodendrogliom 137
  - Optikusgliom 139
  - progressive diffuse Leukenzephalopathie 127
  - progressive multifokale Leukenzephalopathie 124, 124
- Marklagerödem 19, 20
  - Hirnmetastase 194
  - Kryptokokkose 116
- Marklagerveränderung
  - atypische Blutung 19
  - Befundung 18
  - Marklagerödem 19
  - Massenblutung 20
  - mikroangiopathische 125
  - Multiple Sklerose 223
- Massenblutung, hypertone 18, 20, 80 ff
  - CT-Morphologie 81
  - DD Einblutung Kontusionsherd 40
  - Differenzialdiagnosen 82
  - Pathogenese 80
  - Prädilektionsstelle 80
    - typische 80 f
- Massenprolaps
  - lateralisierte 364
  - lumbaler 360
- McCune-Albright-Syndrom 265
- Meatus acusticus internus
  - Akustikusneurinom 160, 282
  - Neurofibromatose 232
  - Stenvers-Aufnahme 283
- Meckel-Kavum 182
- Mediainfarkt
  - alter 71
  - Aspergillose 111
  - CT-Morphologie 66
  - Demarkationsstadium 69
  - Einblutung 81
  - frischer 16
  - subakuter 66
  - Sulci 15
  - Territorialinfarkt 22
  - Verlauf 72
- Medial Branch Block 455
- Medulloblastom 157 ff, 159
  - CT-Morphologie 158
  - DD Astrozytom 158
  - DD Ependymom 147
  - Differenzialdiagnosen 158
  - intraspinales 434
  - Pathogenese 158
  - Rezidivdiagnostik 158
- Medulloepitheliom 155 f
  - CT-Morphologie 156
  - Differenzialdiagnosen 156
  - Pathogenese 155
- Melanom, intraspinale Metastasen 410
- Meningeom 164 ff
  - Charakteristika 165
  - CT-Morphologie 165
  - DD Epidermoid 182
  - DD Hämangioperizytom 172
  - DD Lymphom 177
  - Differenzialdiagnosen 167 ff
  - Einteilung 426
  - epileptischer Anfall 134
  - Felsenbeinspitze 167
  - frontobasales 169, 268
  - Häufigkeit 134, 164
  - intradurales 428
  - intraossäres 268, 268
  - intraspinales 426 f, 427 f
    - - CT-Morphologie 427
    - - DD Bandscheibenvorfall 428
    - - Pathogenese 426
  - - Verkalkung 427
  - Keilbeinflügel 166
  - Keilbeinhöhle 167
  - Knochenfenster 165, 168
  - Lokalisationen 166
  - MRT 167
  - Neurofibromatose Typ 2 232
  - okzipitales 168
  - ossär imponierendes 165
  - parasellares 166
  - Pathogenese 164
  - petroklivales 166
  - postoperativer Verlauf 248
  - Rezidivdiagnostik 169
  - Schädelbasis 267 f
    - - CT-Morphologie 268
    - - Pathogenese 267
  - sekretorisches 182
  - uncharakteristisches 154
  - Wachstumsformen 166
- Meningitis
  - Aspergillose 110
  - Nokardiose 119
  - otogene 105
  - Tuberkulose 107, 107 f
- Meningoenzephalitis
  - Bacillus anthracis 112
  - Borreliose 121
  - Kryptokokkose 116
  - Listeriöse 120
- Meningosarkom 164
- Metastase
  - DD Hirninfarkt 78
  - intraspinale 409 f
    - - CT-Morphologie 410
    - - Pathogenese 410
  - ZNS 193 ff
    - - Charakteristika 194 f
    - - CT-Morphologie 194
    - - DD Glioblastom 196, 198
    - - DD Hämangioblastom 196
    - - DD Hirnabszess 197
    - - DD Kavernom 198
    - - Differenzialdiagnosen 196
    - - Marklagerödem 194
    - - Multiplizität 194
    - - Pathogenese 193
    - - Rezidivdiagnostik 198
- Meyerding-Klassifikation 368
- Mittelgesichtsfraktur 283 ff
  - LeFort-Einteilung 283
  - LeFort-Fraktur 284
  - Pathogenese 283
  - Tripod-Fraktur 283, 284
- Mittellinienvorlagerung
  - ausgedehntes SHT 47
  - Epiduralhämatom 42
  - Hygrom 49
  - Subduralhämatom 45 f, 47 f, 56
- Mittelohr
  - Felsenbeinfraktur 287
  - Gantry-Kippung 26
  - Glomustumor 276
- Morbus
  - Alexander 125, 211
  - Alzheimer 211 f
    - - CT-Morphologie 212
    - - DD Normaldruckhydrozephalus 212
    - - Differenzialdiagnose 212
    - - Pathogenese 211
    - - Übersicht 210
  - Binswanger 62, 65, 69, 210, 221
  - Canavan 211
  - Fahr 216
  - Hallervorden-Spatz 211
  - Hippel-Lindau 232 f
    - - CT-Morphologie 233
    - - Differenzialdiagnose 233
    - - Pathogenese 232
  - Hodgkin 412
  - Huntington 218
    - - CT-Morphologie 218
    - - Differenzialdiagnosen 218
    - - Pathogenese 218
    - - Übersicht 210 f
  - Jaffé-Lichtenstein 264 ff
    - - CT-Morphologie 266
    - - Differenzialdiagnosen 266
    - - Pathogenese 265
  - Kahler 423, 424
    - - CT-Morphologie 423
    - - Pathogenese 423
  - Leigh 211

- Morbus**, Marchiafava-Bignami 223  
 – Paget 266 f, 402  
 – – CT-Morphologie 267, 402  
 – Häufigkeit 267, 402  
 – Klinik 402  
 – Pathogenese 267, 402  
 – Parkinson 214 f  
 – – CT-Morphologie 215  
 – DD Multiinfarktdemenz 221  
 – Differenzialdiagnosen 215  
 – Pathogenese 214  
 – Übersicht 210 f  
 – Pelizaeus-Merzbacher 211  
 – Pick 213  
 – – CT-Morphologie 213  
 – Differenzialdiagnose 213  
 – Pathogenese 213  
 – Übersicht 210  
 – Recklinghausen 230 f  
 – – CT-Morphologie 231  
 – Differenzialdiagnose 231  
 – Meningeome 230  
 – Pathogenese 230  
 – Ponsgliom 231  
 – Schilder 223, 223  
 – Sturge-Weber 233 f  
 – – CT-Morphologie 233  
 – Differenzialdiagnosen 234  
 – Pathogenese 233  
 – Verkalkung 234  
 – Wilson 218  
 – – CT-Morphologie 218  
 – Differenzialdiagnosen 218  
 – Pathogenese 218  
 – Übersicht 210 f  
**MSA** (Multisystematrophie) 217  
 Mukozele 262 f  
 – CT-Morphologie 263  
 – Ethmoidalzellen 263  
 – Pathogenese 262  
**Multiinfarktdemenz** 220 f  
 – CT-Morphologie 221  
 – Charakteristika 220  
 – DD Morbus Parkinson 221  
 – Pathogenese 220  
 – Übersicht 210  
**Multiple Sklerose** 222 f, 403  
 – Charakteristika 222  
 – CT-Morphologie 222, 403  
 – DD Endstrominfarkt 78  
 – DD Gliom 140  
 – DD Hirninfarkt 78  
 – DD Neuroborreliose 121  
 – DD Tumor 223  
 – Häufigkeit 222, 403  
 – Klinik 222, 403  
 – Pathogenese 222, 403  
 – Übersicht 210  
**Multisystematrophie** 217  
**Myelinolyse**, zentrale pontine 79, 224  
**Myelographie**  
 – absolute Spinalkanalstenose 373  
 – intradurale Raumforderung 436

- intraspinaler Sequester 365  
 – intraspinaler Tumor 409  
 – Lymphomaussaat 413  
 – Spondylolisthesis 370  
 – Übergangsanomalie 315  
**Myelomeningozele** 329  
 – Diastematomyelie 331  
 – Tethered-Cord-Syndrom 330  
**Myelopathie**  
 – Morbus Paget 402  
 – Multiple Sklerose 403  
 – Osteoblastome 418  
 – zervikale 373  
 – – Bandscheibendegeneration 364  
 – – Bandscheibenprolaps 359  
 – – Klippel-Feil-Syndrom 328  
 – – rheumatoide Arthritis 401  
**Myeloschisis** 331
- N**
- Nasennebenhöhlen**  
 – Entzündung 254  
 – Mukozele 262 f  
 – Papillom 263  
 – Pyozele 262 f  
 – Sinusitis 252  
 – Tumor 278  
 – Tumorinvagination 253  
**Nasopharynxkarzinom** 193, 280  
**Nervenwurzelkompression**  
 – Bandscheibendegeneration 363  
 – Bandscheibenprolaps 302  
 – intraforaminal 316  
 – Post-Myelo-CT 323  
 – zervikaler Bandscheibenprolaps 362
- Nervus**  
 – acusticus, Cholesteatom 275  
 – facialis  
 – – Borreliose 121  
 – – Cholesteatom 275  
 – – Felsenbeinfraktur 287  
 – – Schwannom 281  
 – – hypoglossus, Schwannom 282  
 – – mandibularis, Knochenzyste 262  
 – oculomotorius  
 – – Arteria-carotis-interna-Aneurysma 89  
 – – Hypophysenadenom 185  
 – – Mukozele 263  
 – opticus  
 – – Hypophysenadenom 186 f  
 – – Mukozele 262  
 – – Optikusgliom 231  
 – – Sinuschirurgie 248  
 – trigeminus  
 – – Akustikusneurinom 160  
 – – Schwannom 281  
 – vagus, Glomustumor 276  
 – vestibularis, Akustikusneurinom 160
- vestibulocochlearis, Schwan-nom 281  
**Neurinom** 159 ff  
 – CT-Morphologie 161  
 – Differenzialdiagnose 161  
 – Häufigkeit 134, 160  
 – intraspinales 429 f  
 – Pathogenese 160  
**Neuroblastom** 156 f  
 – CT-Morphologie 156  
 – Differenzialdiagnosen 157  
 – Metastase 157  
 – Pathogenese 156  
**Neuroborreliose** 121  
 – DD MS 121  
 – DD Neurobrucellose 123  
**Neurobrucellose** 123  
**Neurofibrom** 163  
 – Cauda equina 433  
 – CT-Morphologie 163  
 – Gesicht 163  
 – Halswirbelsäule 431, 433  
 – intraspinales 429 f  
 – plexiformes 163  
 – Zervikalnerv 429  
**Neurofibromatose**  
 – Akustikusneurinom 159 ff  
 – Meningeome 230  
 – Ponsgliom 231  
 – Schwannom HWS 432 f  
 – Typ 1 230 f  
 – – CT-Morphologie 231  
 – Differenzialdiagnosen 231  
 – Pathogenese 230  
 – Typ 2 232  
 – – Akustikusneurinome 232  
 – – CT-Morphologie 232  
 – – Differenzialdiagnosen 232  
 – – Pathogenese 232
- Neurosphiris** 122  
**Neurozystikerose** 117 f  
 – basale Zisternen 117  
 – Charakteristika 117  
 – CT-Morphologie 118  
 – Differenzialdiagnosen 118  
 – MRT 118  
 – Verlauf 118  
**Neurozytom**, zentrales 152 f
- Nidus**  
 – Angiom 85  
 – Osteoidosteom 418  
**Nokardiose** 119  
 – CT-Morphologie 119  
 – Differenzialdiagnose 119  
 – Hirnabszess 119, 119  
 – Klinik 119  
 – Pathogenese 119  
**Non-Hodgkin-Lymphom** 413  
 – Sinus maxillaris 279  
 – Tonsilla pharyngea 279  
**Normaldruckhydrozephalus** 219 f, 219  
 – CT-Morphologie 219  
 – DD Morbus Alzheimer 212
- Definition 225  
 – Übersicht 210  
**Notfalldiagnostik** 12  
 – Artefakte 13  
 – Aufnahmeequalität 12  
 – epidurales Hämatom 14  
 – Galeahämatom 14  
 – Gyri 18  
 – Hirninfarkt 21  
 – Kopfschwarte 13  
 – Liquorzirkulationsstörung 16  
 – Marklagerödem 19, 20  
 – Marklagerveränderungen 18  
 – Massenblutung 20  
 – nicht traumatisierte Patienten 25  
 – polytraumatisierte Patienten 25  
 – Schädelknochen 13  
 – Sinusvenenthrombose 18  
 – Subarachnoidalblutung 16  
 – subdurales Hämatom 14  
 – Sulci 15  
 – Ventrikelsystem 23  
**Nucleus**  
 – caudatus  
 – – Morbus Huntington 218  
 – – Morbus Pick 213  
 – – Morbus Wilson 218  
 – pulposus  
 – – Bandscheiben-degeneration 356  
 – – Discitis calcarea 393  
 – – Diszitis 392  
 – – Kontrastmittel-anreicherung 365  
 – – Verkalkung 393
- O**
- Oberkiefer**  
 – fibröse Dysplasie 265, 265  
 – LeFort-Frakturen 283  
 – zystische Läsion 261  
**Odontom** 260  
 – CT-Morphologie 260  
 – komplexes 260  
 – zusammengesetztes 260  
**OLF** (ossification of ligamenta flava) 373  
**Oligodendrogiom**  
 – anaplastisches 136  
 – Balken 137  
 – Einteilung 136  
 – Grad II 137  
 – Verkalkung 137, 216  
**OPCA** (olivopontozerebelläre Atrophie) 217  
**OPLL** (ossification of posterior longitudinal ligament) 373, 374  
**Optikusgliom** 139  
 – CT-Morphologie 139  
 – DD Sellatumor 189  
 – Morbus Recklinghausen 231

- Optikusneuritis  
– Multiple Sklerose 222  
– Sarkoidose 109
- Orbital  
– Gantry-Kippung 26  
– Schichtdicke 26
- Orbita  
– Fraktur 284, 285f, 286  
– LeFort-Frakturen 283  
– Meningoem 268  
– Tripod-Fraktur 284  
– Tumor 279
- Orbitabodenfraktur 285
- Orbitomeatallinie 26
- Orthopantomogramm  
– Osteochondrom 271  
– radikuläre Zyste 261
- Os odontoideum 346
- Osteoblastom 417
- Osteochondrom 271 f  
– Charakteristika 272  
– Unterkiefer 271
- Osteoidosteom 417
- Osteoklastom, intraspinales 416 f
- Osteolyse  
– Chordom 190  
– fibröse Dysplasie 266  
– Meningoem 168  
– Plasmozytom 178
- Osteom, Unterkiefer 252
- Osteomyelitis 396 f  
– CT-Morphologie 397  
– Pathogenese 396
- Osteoporose 375 ff  
– CT-Morphologie 376  
– Densitometrie 376  
– Frakturrisiko 377  
– Pathogenese 375  
– primäre 375  
– sekundäre 375  
– Vertebroplastie 448
- Osteosarkom 421
- Ostitis deformans 402
- Otosklerose 256 f  
– CT-Morphologie 257  
– Differenzialdiagnose 257  
– Pathogenese 256
- P**
- Papillom 263 f  
– CT-Morphologie 264  
– exophytisches 263 f  
– invertiertes 263 f, 264  
– Pathogenese 263
- Paragangliom 276 f  
– CT-Morphologie 277  
– intraspinales 433 f  
– Pathogenese 276
- Paralyse, progressive 122
- Paraparesse  
– AV-Malformation 383  
– Multiple Sklerose 403
- Parkinson-Plus-Syndrom s. Multisystematrophie
- Parkinson-Syndrom 210, 214
- Patientenlagerung  
– Kopf-CT 26  
– Vertebroplastie 450
- PDL (progressive diffuse Leukenzephalopathie) 126, 211
- Peitschenschlag-Trauma, Kindesmisshandlung 53
- Pentagon, Subarachnoidalblutung 16, 17
- Penumbra 74
- Perfusions-CT 70 ff, 73
- Phakomatose 230 ff  
– Hippel-Lindau-Erkrankung 232 f  
– Neurofibromatose Typ 1 230 f  
– Neurofibromatose Typ 2 232  
– Sturge-Weber-Erkrankung 233 f  
– Tuberöse Sklerose 234 f
- Pharynxtumor 278 f  
– CT-Morphologie 278  
– Differenzialdiagnosen 279
- Pick-Atrophie s. Morbus Pick
- Pick-Körperchen 213
- Pineoblastom 154 f
- Pineozytom 154 f  
– DD Germinom 180
- Plasmozytom 178 f, 423  
– Brustwirbelsäule 423  
– CT-Morphologie 178, 423  
– DD Chordom 190  
– Differenzialdiagnosen 178  
– extraossäres 178  
– fortgeschrittenes 424  
– Häufigkeit 178, 423  
– Klinik 178, 423  
– Klivus 179  
– Pathogenese 178, 423  
– Rezidivdiagnostik 179  
– solitäres 178
- Plattenepithelkarzinom  
– Mundboden 279  
– Pharynxkarzinom 278  
– Pharynxtumor 278
- Plexus choroideus  
– Karzinom 148 f  
– Papillom 148 f  
– Tumor 148
- Plexuspapillom, III. Ventrikel 149
- Plexustumor 148 f  
– CT-Morphologie 148  
– Differenzialdiagnose 149  
– Pathogenese 148
- PML (progressive multifokale Leukenzephalopathie) 123, 211
- PNET (primitiver neuroektodermaler Tumor)  
– Medulloblastom 157  
– Medulloepitheliom 155
- Pneumatisierung, Sinuschirurgie 249
- Pneumatozele, offenes SHT 36
- Pneumenzephalographie 10
- Pneumozysternographie 282
- Polka-Dot 420
- Pons  
– Gliom 136, 231  
– hypertone Massenblutung 81  
– Hypodensität 75  
– zentrale pontine Myelinolyse 224
- Post-Myelo-CT  
– absolute Spinalkanalstenose 373  
– Bandscheibenprolaps 363  
– Cauda equina 322  
– Epidermoid 435  
– Fenstereinstellung 309  
– Halswirbelsäule 299  
– intradurale Raumforderung 436  
– lumbales 322  
– Rückenmarkhäute 323  
– sagittales 309  
– spinale Arachnoiditis 399, 400  
– spinale meningeale Zyste 335  
– Spinalnervenwurzeln 322  
– Syringomyelie 338  
– Tethered-Cord-Syndrom 330, 330  
– zervikale Spinalkanalstenose 374  
– zervikaler Bandscheibenprolaps 362  
– zervikales 322
- Posteriorinfarkt 23
- Prävalenz  
– AV-Malformation 86  
– Morbus Alzheimer 211  
– Spondylolyse 369  
– Tuberöse Sklerose 234
- Prolaktinom 185
- Prolaps  
– Bandscheibendegeneration 357  
– CT-Morphologie 364
- Propädeutik  
– Bandscheibenprolaps 302  
– Kopf 9  
– Wirbelsäule 301
- Prostatakarzinom, intraspinale Metastase 410
- Protrusion  
– Bandscheibendegeneration 357  
– CT-Morphologie 364
- PRT (periradikuläre Therapie) 456, 457
- Psammomkörper 427
- Pseudo-Bulging 369
- Pseudospondylolisthesis 368
- Pseudozyste 261
- Psychosyndrom, hirnorganisches 55
- Putamen, hypertone Massenblutung 80
- Pyozele 262 f
- Q**
- Querschnittslähmung  
– Teardrop-Fraktur 347  
– Wirbelkörperluxationsfraktur 350
- Querschnittsyndrom, Blutversorgung des Rückenmarks 318
- R**
- Ramus-communicans-anterior-Aneurysma 92
- Rathke-Zyste 181
- Raumforderung  
– Arachnoidalzyste 237  
– Chiari-Malformation 239  
– Cholesteatom 275  
– Epiduralhämatom 41 f  
– extradurale 303  
– Gliom 138  
– Grad-I-Gliom 136  
– Hirnmetastase 194  
– Hygrom 49  
– Hypopharynx 280  
– intradural extramedulläre 303  
– intramedulläre 303  
– intraspinale 407 ff  
– Einteilung 408, 408  
– extradurale 408 f, 412, 414  
– intradural-extradurale 408, 426 f, 429, 433 f  
– intramedulläre 409, 437 f, 440  
– Kavernom 88  
– Keilbeinflügelmeningoem 166  
– Kolloidzyste 184  
– Kraniopharyngeom 189  
– Meningoem 165  
– Mukozele 263  
– Notfalldiagnostik 12  
– Schädelbasis 258  
– Subduralhämatom 46, 47  
– Sulci 15  
– Synovialiszyste 367  
– Teratom 181  
– Wirbelsäule 303
- Retinahamartom  
– Hippel-Lindau-Erkrankung 233  
– Tuberöse Sklerose 234
- Retrolisthesis 368, 369
- Rhabdomyosarkom 173 f, 173
- Rheumatoide Arthritis 400 f, 401  
– CT-Morphologie 401  
– Pathogenese 400
- Rhinoliquorrhö 248 f
- Rhombenzephalitis 120
- Riesen neurinom, sakrales 430
- Riesenschwannom, sakrales 429
- Riesenzellastrozytom  
– subependymales 144 f, 144  
– CT-Morphologie 145  
– Einteilung 135  
– Gradeinteilung 136

Riesenzellastrozytom, subependymales, Pathogenese 144  
 - Tuberöse Sklerose 234  
 Riesenzelltumor 271  
 - CT-Morphologie 271  
 - intraspinaler 416 f  
 - Pathogenese 271  
 Rindeninfarkt 67  
 - septische Embolie 77  
 - Vaskulitis 76  
 Ringartefakt 13, 39  
 Risikofaktoren  
 - Pharynxkarzinom 278  
 - Sinusvenenthrombose 94  
 - spinaler epiduraler Abszess 397  
 Rotkehlchenhaltung 347  
 Rückenlage, Kopf-CT 26  
 Rückenmark  
 - Anatomie 321  
 - Arterien 318 f, 319  
 - Hydromyelie 337  
 - intramedulläre Raumforderung 409  
 - Syringomyelie 337  
 - Tethered-Cord-Syndrom 330  
 - Venen 319, 320  
 Rückenschmerzen  
 - Arachnoiditis 399  
 - Bandscheibendegeneration 358, 363  
 - Diszitis 392  
 - Facettengelenkinfiltration 453  
 - intraspinale Metastasen 410  
 - Paragangliom 433  
 - spinale arteriovenöse Malformation 383  
 - spinale Epiduralhämatom 387

**S**

SAE (subkortikale arteriosklerotische Enzephalopathie) 62 f, 65, 69  
 Sakrumfraktur 352  
 Sanduhrgeschwulst 430  
 Sarkoidose 109  
 3-Säulen-Modell 349, 349  
 Schädel-Hirn-Trauma  
 - ausgedehntes 47  
 - Befunde 39  
 - Epiduralhämatom 40 ff  
 - gedecktes 36  
 - Gefäßverletzungen 52 f  
 - Hirnabszess 105  
 - Kindesmisshandlung 53  
 - Kontusionsherde 38 ff  
 - offenes 36, 37, 51  
 - CT-Morphologie 51  
 - Differenzialdiagnosen 52  
 - Schädelfraktur 36 f, 283  
 - Schussverletzungen 50  
 - Spätfolgen 54  
 - Subarachnoidalblutung 43 f

- Subduralhämatom 44 ff  
 - Subduralhygrom 48 f  
 - Verlauf 56  
 Schädelbasis 251 ff  
 - Akustikusneurinom 281 ff  
 - Cholesteringranulom 274  
 - CT-Indikationen 252  
 - CT-Stellenwert 252  
 - Fehlbildungen 253  
 - Glomustumor 276  
 - Karzinom 192  
 - Meningeom 267 f  
 - - CT-Morphologie 268  
 - - Pathogenese 267  
 - Osteochondrom 271, 272  
 - Raumforderungen 258  
 - Schwannom 281 ff  
 - Tumor 257 ff  
 - Tumorzession 253  
 Schädelbasisfraktur 283 ff  
 - CT-Morphologie 287  
 - Gefäßverletzung 52  
 - Klinik 37  
 Schädelfraktur 36 f  
 - CT-Morphologie 37  
 - Felsenbein 36  
 - Pathogenese 36, 283  
 - Rezidivdiagnostik 37  
 Schädelgrube  
 - hintere  
 - - Akustikusneurinom 159 ff  
 - - Aneurysmablutung 89  
 - - Artefaktreduktion 29  
 - - Dandy-Walker-Malformation 236  
 - - Ependymom 437  
 - - Epiduralhämatom 41  
 - - Gantry-Kippung 26  
 - - Hämangioblastom 174, 440  
 - - Metastasen 195  
 - - Temporallappeneinstellung 30  
 - mittlere  
 - - Artefaktreduktion 29  
 - - Aufhängungsartefakt 12  
 - - Neurofibromatose 232  
 - - Tumor 157  
 - vordere  
 - - Rhabdomyosarkom 173  
 - - Sinuschirurgie 249  
 Schädelknochen, Beurteilung 13  
 Scherverletzung, Kontusionsherd 38  
 Schichtdicke  
 - CT-Angiographie 27  
 - Felsenbein 26  
 - Hirninfarkt 72  
 - Hirnstamminfarkt 75  
 - Hypophysenadenom 186  
 - infratentorielle 26  
 - Innenohr 26  
 - Kopf-CT 26  
 - Nasennebenhöhlen 253  
 - nicht traumatisierte Patienten 25  
 - Orbital 26  
 - Sinusitis 253  
 - supratentorielle 26  
 - Wirbelsäule 305  
 Schmetterlingsgliom 139, 140  
 Schmorl-Knoten 360, 362  
 Schnittbildanatomie  
 - Kopf 3  
 - Wirbelsäule 295  
 Schrotschussschädel 178, 423  
 Schussverletzung 50  
 - CT-Morphologie 50  
 - Differenzialdiagnosen 50  
 Schwannom 159 ff, 281 ff  
 - Akustikusneurinom 281  
 - Charakteristika 282  
 - CT-Morphologie 282  
 - DD Bandscheibenvorfall 432  
 - Halswirbelsäule 432 f  
 - intraspinales 429 f  
 - Pathogenese 160, 281  
 - sakrales 432  
 Schweinebandwurm 117  
 Schwerhörigkeit  
 - fibröse Dysplasie 266  
 - Otosklerose 257  
 Seatbelt Fracture 349  
 Segmentarterien 319  
 Segmentierungsstörung 326  
 Sehstörung, Lymphom 177  
 Seitenventrikel  
 - Angiom 86  
 - Balkenlipom 171  
 - Hasenohrzeichen 46  
 - Hydrozephalus 91  
 - Normaldruckhydrozephalus 219, 219  
 - Subduralhämatom 46  
 Sella  
 - Cholesteringranulom 274  
 - Gantry-Kippung 26  
 - Mukozele 263  
 Sequester 357  
 - axillärer 357  
 - intraforaminaler 366  
 - intraspinaler 365  
 Shunt  
 - CT-Morphologie 246  
 - Dysfunktion 246  
 - ventrikuloatrialer 246, 246  
 - ventrikuloperitonealer 246  
 Sinus  
 - cavernosus  
 - Hypophysenadenom 185 ff, 186  
 - Meningeom 167  
 - Dichteanhebung 95  
 - durae matris 93  
 - ethmoidalis  
 - Mukozele 262  
 - Nasopharynxkarzinom 280  
 - frontal  
 - Abszess 104  
 - Meningeom 154  
 - Mukozele 262  
 - maxillaris  
 - LeFort-Fraktur 283, 284  
 - Lymphom 279  
 - Mukozele 262  
 - ossifizierendes Fibrom 273  
 - Papillom 264  
 - Plattenepithelkarzinom 278  
 - Schwannom 282  
 - Sinusitis 254  
 - Tripod-Fraktur 283, 284  
 - rectus  
 - Thrombose 29  
 - Venenabfluss 93  
 - sagittalis superior  
 - Thrombose 29, 94, 95  
 - Venenabfluss 93  
 - Verletzung 53  
 - sphenocephalic  
 - Nasopharynxkarzinom 280  
 - Sinusitis 254  
 Sinuschirurgie 248 f  
 Sinusitis 252, 254  
 - CT-Morphologie 254  
 - Pathogenese 254  
 Sinusvenenthrombose  
 - arteriovenöse Fistel 95  
 - Befundung 18, 18  
 - blonde 94  
 - Charakteristika 94  
 - Cord Sign 96  
 - CT-Angiographie 29, 29  
 - CT-Morphologie 95  
 - CT-Zeichen 95 f  
 - Dichteanhebung 95  
 - Differenzialdiagnosen 97  
 - eitrige 94  
 - Empty Triangle Sign 96  
 - Risikofaktoren 94  
 - Untersuchungstechnik 96  
 Skoliose  
 - Diastematomyelie 331  
 - Tethered-Cord-Syndrom 330  
 Spätabstzess, posttraumatischer 55  
 2-Spektren-Methode 376  
 Spina bifida 328 f  
 - CT-Morphologie 329  
 - Pathogenese 328  
 Spinalkanal  
 - Anatomie 314  
 - Atlas 317  
 - Aufhängungsartefakte 310  
 - Densfraktur 344  
 - Epiduralraum 323  
 - Normalwerte 336  
 - Sequester 357  
 - Stierkopfform 372  
 - Vakuumphänomen 357  
 Spinalkanalstenose  
 - absolute 372, 373  
 - angeborene 335, 336 f  
 - Ausschluss 315  
 - Bandscheibendegeneration 364  
 - erworbene 371 ff  
 - CT-Morphologie 372  
 - lumbale 371



- – Pathogenese 371
- Klippel-Feil-Syndrom 328
- relative 371, 372
- zervikale 364, 373 f, 374
- – CT-Morphologie 374
- – Pathogenese 373
- Spinalkanalweite
  - Beurteilung 315
  - Normalwerte 371 f
  - Spinalkanalstenose 374
- Spinalnervenwurzel
  - Anatomie 322
  - Post-Myelo-CT 322
- Spiral-CT
  - Einzelschicht-Scanner 306
  - Mehrzeilen-Scanner 306
  - multiplanare Reformierung 305
  - Wirbelsäule 305
- Spondylitis 396
- Spondylodisitis 394 ff
  - Abszess 398
  - CT-Morphologie 395
  - Differenzialdiagnosen 396
  - Pathogenese 394
  - postinterventionelle 395
  - Punktions 459
  - spontane 394
  - tuberkulöse 394 f, 394 f
- Spondylolisthesis 368 ff, 370
  - Axis 346
  - Charakteristika 370
  - CT-Morphologie 369
  - Klassifikation 368
  - Pathogenese 368
- Spondylolyse 368 ff, 369
  - CT-Morphologie 369
  - Pathogenese 368
- Spondyloptose 368
- Spondylose 368 ff
  - CT-Morphologie 369
  - Pathogenese 368
- Sprengel-Deformität, Klippel-Feil-Syndrom 327
- Stadieneinteilung
  - Ästhesioneuroblastom 153
  - Subarachnoidalblutung 89
- Stammganglien
  - Angiom 85
  - Befundübersicht 216
  - Hirninfarkt 67, 67
  - Hirninfarktfürzeichen 20
  - hypertone Massenblutung 80, 81
  - Marklagerödem 20
  - Mediainfarkt 66
  - Morbus Huntington 218
  - Morbus Wilson 218
  - Multiinfarktdemenz 220
  - Parkinson-Syndrom 215
  - Toxoplasmose 114
  - Tuberkulose 107
  - Unschärfe bei Hirninfarkt 65, 65
  - Verkalkung 216
- Stenvers-Aufnahme 283
- Stierkopfform 372
- Strahlendosis, Spiral-CT Wirbelsäule 305
- String Sign 75
- Sturge-Weber-Erkrankung 233 f
  - CT-Morphologie 233
  - Differenzialdiagnose 234
  - Pathogenese 233
  - Verkalkung 234
- Subarachnoidalblutung
  - Aneurysmalokalisierung 91
  - aneurysmatische 88 ff
    - – CT-Morphologie 89
    - – Differenzialdiagnose 91
    - – Pathogenese 88
    - – Rezidivdiagnostik 91
    - – Zusatzuntersuchung 91
  - Befundung 16
  - Blutnachweis 89 f
  - DD Leptomeningitis 91
  - Hydrozephalus 84
  - Kontrastumkehr 90
  - Kontusionsherd 39
  - spinale 388
  - Stadieneinteilung 89
  - traumatische 43 f, 44
    - – CT-Morphologie 43
    - – DD Aneurysmablutung 44
    - – Differenzialdiagnosen 44
    - – Pathogenese 43
    - – Rezidivdiagnostik 44
  - Subduralhämatom 44 ff
    - akutes 45 f
    - ausgedehntes 47
    - beidseitiges 46
    - Charakteristika 46
    - chronisches 45 f
    - DD Arachnoidalzyste 48
    - DD Epiduralhämatom 47
    - Interhemisphärenspalt 56
    - Kindesmisshandlung 53, 54
    - Pathogenese 45
    - Sonderformen 48
    - spinale 387
  - Subduralhygrom 48 f
    - chronisches 49
    - CT-Morphologie 49
    - Differenzialdiagnosen 49
    - Kindesmisshandlung 54
    - Pathogenese 48
    - Rezidivdiagnostik 49
  - Subependymom 147 f
    - CT-Morphologie 147
    - Differenzialdiagnosen 148
    - Pathogenese 147
  - Subluxation, atlantoaxiale 400
  - Substantia nigra, Morbus Parkinson 214
  - Sulci
    - Befundung 15
    - Hirnödem 16
    - Subarachnoidalblutung 16
  - Synovialiszyste 366 f
    - CT 367
    - CT-Morphologie 367
    - MRT 367
    - Pathogenese 366
  - Syphilis 122
  - Syringomyelie 337 ff, 339
    - CT-Morphologie 338
    - Pathogenese 337
  - T**
  - Tandemstenose 28
  - Target Sign, asymmetrisches 114, 115
  - Tarlov-Zyste 334
  - Teardrop-Fraktur 304, 347, 348
    - Häufigkeit 343
  - Temporalappen
    - Arachnoidalzyste 237
    - Einklemmung 42
    - Morbus Alzheimer 211 f
    - Morbus Pick 213
    - pleomorphes Xanthoastrozytom 143
  - Temporalappeneinstellung 29, 30
    - Akustikusneurinom 30
    - Gantry-Kippung 29
    - Hirnstamminfarkt 75
  - Tentorium
    - Meningoem 165
    - Subduralhämatom 48
  - Teratom 180 f
    - CT-Morphologie 181
    - Häufigkeit 134, 180
    - intraspinales 435
    - Pathogenese 180, 435
  - Territorialinfarkt 62
    - A. cerebelli inferior posterior 74
    - A. cerebri media 66
    - CT-Morphologie 65, 66
    - DD Hirntumor 78
    - kleiner 67
    - Kleinhirn 74
    - Verteilungsmuster 21
  - Testbolus-Technik 27
  - Tethered-Cord-Syndrom 330, 330
    - CT-Morphologie 330
    - Pathogenese 330
    - Post-Myelo-CT 330
  - Thalamus
    - Angiomblutung 87
    - hypertone Massenblutung 81
    - Infarkt 64
  - Therapie, periradikuläre 456, 457
  - Thrombose 93 ff
    - A. basilaris 75
    - frische 95
    - länger bestehende 96
    - Pathogenese 94
    - Sinus sagittalis superior 94
    - Untersuchungstechnik 96
  - Tissue at Risk 72, 73
  - Tornwaldt-Zyste 256
  - Torulom 116
  - Toxoplasmose 113 ff
    - Charakteristika 114
    - CT-Morphologie 114
    - Differenzialdiagnose 115
    - kongnatale 113
    - Pathogenese 113
    - Rezidivdiagnostik 115
  - Treponema pallidum 122
  - Trigeminusneurinom 281 f
  - Tripod-Fraktur 283, 284
  - Tuberkulom 108
  - Tuberkulose 106 ff
    - CT-Morphologie 108
    - Differenzialdiagnosen 108
    - Pathogenese 107
  - Tuberöse Sklerose 144, 234 f
    - Charakteristika 235
    - CT-Morphologie 234
    - Differenzialdiagnosen 235
    - Pathogenese 234
  - Tumor
    - Felsenbein 257 ff
    - Gesichtsschädel 257 ff
    - intrakranialer 134, 138
    - Nasennebenhöhlen 278
    - neuroepithelialer 135 ff
    - odontogener 258
      - – Ameloblastom 259
      - – Odontom 260
      - – Zementom 260
    - Pharynx 278 f
    - Schädelbasis 257 ff
  - Tumorresektion 247
  - Tumorrest 247
  - CT-Morphologie 247
  - Tumorrezidiv 247
  - U**
  - Überdrainage 246
  - Übergangsanomalie 314, 315
  - UID (unilaterale interfacciale Dislokation) 347
  - Uncus corporis vertebrae 316
  - Unkovertebralgelenk, Transversaldarstellung 316
  - Unterdrainage 246
  - Unterkiefer
    - fibröse Dysplasie 265
    - folliculäre Zyste 261
    - Fraktur 286 f, 286
    - Osteochondrom 271
    - Zementom 260
    - zystische Läsion 261
  - Untersuchungsparameter
    - CT-Angiographie 27
    - Kopf-CT 26
    - Wirbelsäule 304

**V**

Vakuumphänomen 356, 357  
Vaskulitis, Hirninfarkt 76, 78

Vena  
– cerebralis inferior, Anatomie 93  
– cerebralis superior  
– – Anatomie 93  
– – Sinusvenenthrombose 96  
– cerebri magna  
– – Anatomie 93  
– – Thrombose 95  
– emissaria 94

Venen  
– Rückenmark 319, 320  
– Sinus durae matris 93  
– Wirbelkörper 320  
– Wirbelsäule 319

Ventildysfunktion 246

Ventrikeleinbruch

– hypertone Massenblutung 80  
– Subarachnoidalblutung 90

Ventrikelsystem

– Angiomblutung 86  
– ausgedehntes SHT 47  
– Befundung 23  
– Druckkappen 23  
– Ependymitis 105  
– Ependymom 146  
– Hygrom 49  
– Mediasystem 66  
– Verkalkung 24

Ventrikulitis, Tuberkulose 108

Verkalkung

– Chondrosarkom 191f  
– Chordom 190  
– Dichte 24  
– Ependymom 146  
– Gangliozytom 151f, 151  
– Germinom 180  
– Globus pallidus 216  
– Grad-I-Gliom 136  
– Hirnmetastase 196, 196  
– Kraniohypophyse 188, 189  
– Liquorräume 24  
– Neuroblastom 156  
– Neurozystikerose 118  
– Oligodendrogiom 137, 216  
– Optikusgliom 139  
– Pineozytom 155  
– Stammganglien 216

– Sturge-Weber-Erkrankung 234  
– Toxoplasmose 114f  
– Ventrikelsystem 24

Verschlusshydrozephalus, Hirntumoren 135  
Vertebra prominens 316  
Vertebroplastie 448ff, 449, 451  
– Biopsie 450  
– Durchführung 449  
– Extravasat 452  
– Funktionsprinzip 448  
– Indikation 448  
– Komplikationen 452  
– Kontraindikation 453  
– Osteoporose 448  
Volumenzunahme, intrakraniale 10  
– Folgen 11  
– Ursachen 11

**W**

Weichteilfenster  
– Arachnoidalzyste 237  
– fibröse Dysplasie 266  
– Halswirbelsäule 299  
– intraspinale Metastasen 410  
– Klivuschordom 190  
– Lendenwirbelsäule 295  
– Lipomyeloschisis 333  
Wilson-Erkrankung 218  
Wirbelbogen  
– Anatomie 314  
– Spina bifida 328  
– Spondylolisthesis 370  
Wirbelkörper  
– Anatomie 314  
– Arterien 318  
– Flexionsfraktur 349, 352  
– Hämangioma 420  
– intraspinale Metastasen 410  
– intraspinales Chordom 415  
– Metastasen 410  
– Osteomyelitis 396  
– Osteoporose 375f  
– Plasmozytom 424  
– Retrolisthesis 369  
– Schmorl-Knoten 360  
– Spinalnervenwurzeln 322  
– Spondylitis 396  
– Spondylodiszitis 394f, 394

– Spondylolisthesis 368  
– tuberkulöse Spondylitis 396  
– Venen 320

– Vertebroplastie 448  
Wirbelkörperfraktur  
– Atlas 343  
– Axis 343f  
– Berstungsfraktur 349, 351  
– Chance-Fraktur 351  
– Halswirbelsäule 343  
– HWK 4 348  
– Kompressionsfraktur 349, 349f  
– Luxationsfraktur 350  
– subaxiale HWK-Fraktur 347  
– Teardrop-Fraktur 347, 348  
– thorakolumbale 349  
– thorakale 349f  
Wirbelkörperhämangioma 419f  
– CT-Morphologie 420  
– Pathogenese 419

Wirbelsäule  
– Anatomie 295, 313  
– aneurysmatische Knochenzyste 418  
– Bänder 320  
– Befundung 304ff  
– CT-gestützte Intervention 447  
– Degeneration 355ff  
– Einzelschichttechnik 305  
– Facettengelenke 315  
– Fehlbildung 326  
– Fraktur 303  
– Gantry-Kippung 307  
– Knochen 314  
– Kontrastmittel 308  
– Propädeutik 301  
– Raumforderung 303  
– rheumatoide Arthritis 400  
– Rückbildungshemmung 326  
– Schichtdicke 305  
– Schnittbildanatomie 295  
– segmentale Aufteilung 314  
– Segmentierungsstörungen 326  
– Spiral-CT 305  
– Technik 304  
– Übergangsanomalien 314  
– Untersuchung 307  
– Untersuchungsparameter 305  
– Verletzungen 342ff  
– Vertebroplastie 448ff  
– Wurzeltaschenzyste 334

**X**

Xanthoastrozytom, pleomorphe 135, 143, 143  
– CT-Morphologie 143  
– Gradeinteilung 136  
– Pathogenese 143

**Z**

Zementom 260  
Zerebritis, Tuberkulose 108  
Zervialgie, Propädeutik 302  
Zervikobrachialgie, Propädeutik 302  
Zipfelmütze 75  
Zisterne  
– basale  
– – Neurozystikerose 117, 117  
– Sarkoidose 109  
– Subarachnoidalblutung 16, 90  
– Topographie 17  
– – Tuberkulose 107, 108  
– zerebellopontine  
– – Epidermoid 182  
– – Medulloblastom 158  
Zwei-Spektren-Methode 376  
Zwischenwirbelraum  
– Spondylodiszitis 394f  
– Vakuumphänomen 356, 357  
– Vertebroplastie 452  
Zylinderzellpapillom 263  
Zyste  
– echte 261  
– folliculäre 261f, 261  
– juxtafacetäre 366  
– laterale 261  
– nicht-odontogene 261  
– Oberkiefer 261  
– odontogene 261f  
– radikuläre 261, 261  
– spinale meningeale 334f, 334f  
– Unterkiefer 261